

ны быть близки, а сцинтиллятор должен быть прозрачен для излучения. Прозрачность сцинтиллятора характеризуется расстоянием, на к-ром интенсивность его светового излучения уменьшается в результате поглощения в e раз. Для увеличения числа фотонов, падающих на фотокатод ФЭУ, и улучшения равномерности светосбора по объему сцинтиллятора поверхность последнего покрывают отражателем (MgO , TiO_2 , тefлон) или используют полное внутр. отражение от полиров. граней кристалла.

Интенсивность световой вспышки в зависимости от времени меняется по закону $I = I_0 \exp(-t/t)$, где t — время, за к-ое интенсивность уменьшается в e раз, называемое временем высыпчивания сцинтиллятора; t определяет временные характеристики С. д. Время высыпчивания определяется процессами преобразования энергии частицы в световую вспышку, и часто из-за неск. процессов возникает неск. компонент с разл. t . Соотношение интенсивностей разл. компонент высыпчивания отличается для лёгких (электронов) и тяжёлых (протонов, α -частиц и т. д.) частиц, особенно для органич. сцинтилляторов (см. ниже), что приводит к разл. форме импульса для этих частиц. Это позволяет при регистрации по форме импульса разделять частицы разной природы при одинаковой амплитуде импульса.

Зависимость светового выхода от типа регистрируемых частиц характеризуют отношением α/β — отношением светового выхода α -частицы и электрона при одинаковых энергиях. Отношение α/β различно для разных типов сцинтилляторов и зависит от энергии частиц.

С. д. применяются как в виде самостоят. детекторов, так и в качестве составных компонентов комбинированных систем детекторов при исследовании разл. процессов с энергиями \geq неск. КэВ.

Неорганические сцинтилляторы — монокристаллы с добавкой активатора. Они обладают высокими эффективностью Z , плотностью ρ и достаточно большой длительностью высыпчивания t (табл. 1).

Табл. 1. — Характеристика неорганических сцинтилляторов

Кристалл	ρ , g/cm^3	Максимум в спектре люминесценции, нм	t , нс	C_k
NaI (Tl)	3,67	410	250	0,06
CsI (Tl)	4,51	560	700	0,02
KI (Tl)	3,13	410	1000	0,012
LiI (Eu)	4,06	440	1200	0,04
CaF ₂	3,18	250	200	0,009
ZnS (Ag)	4,09	450	10^4	0,1—0,2

Наиб. световым выходом обладают кристаллы ZnS(Ag), но они существуют только в виде мелкокристаллич. порошка (кристаллы больших размеров получить не удается), прозрачность к-рых для собств. излучения мала. Одним из лучших неорганич. сцинтилляторов является NaI(Tl). Он имеет наибольший после ZnS(Ag) световой выход и прозрачен для собств. излучения. Монокристаллы NaI(Tl) могут быть выращены больших размеров (до 500 мм); их недостаток — гигроскопичность, требующая герметизации. Сцинтиллятор CsI (Tl) имеет световой выход ниже, но не гигроскопичен. Помимо этих универсально используемых неорганич. сцинтилляторов существует ряд других, применение к-рых ликтается условиями эксперимента — присутствием определ. элементов, большим или, наоборот, малым сечением захвата тепловых нейтронов (см. *Нейтронные детекторы*) и др. Перспективны сцинтилляторы на основе BaF₂ и Bi₄Ge₃O₁₂ (гигроскопичны, могут быть выращены размерами до неск. десятков см), неактивированные кристаллы галлоидов щелочных металлов при $T \approx -200^\circ C$. Напр., кристаллы NaI имеют тот же световой выход, что и NaI(Tl) при $T = 300 K$, но t на порядок меньше.

Механизм высыпчивания неорганич. сцинтилляторов иллюстрирует зонная диаграмма ионных кристаллов (рис. 2). Внутри запрещённой энергетич. зоны (см. *Зонная теория*)



Рис. 2. Зонная диаграмма ионного кристалла.

могут быть дискретные уровни энергии ионов активатора (напр., Tl для NaI), а также других неизбежных примесей и дефектов кристаллич. решётки. При прохождении заряжен. частицы электроны могут получать энергию, достаточную для перехода из валентной зоны в экситонную зону и зону проводимости. Обратные переходы электронов в зону валентности с промежуточным захватом на дискретных

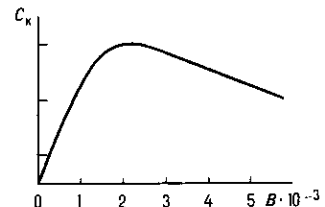


Рис. 3. Зависимость светового выхода C_k кристалла NaI от концентрации Tl.

уровнях запрещённой зоны приводят к испусканию оптич. фотонов. Поскольку их энергия $\hbar\omega$ меньше ширины запрещённой зоны E_g , а плотность дискретных уровней мала, кристалл оказывается для них прозрачным. Световой выход зависит от концентрации активатора B (рис. 3). Уменьшение светового выхода при больших концентрациях связано с ростом вероятности поглощения фотонов на активаторных уровнях. Время высыпчивания t с ростом концентрации активатора до $3 \cdot 10^{-3}$ уменьшается от 0,35 до 0,22 мкс.

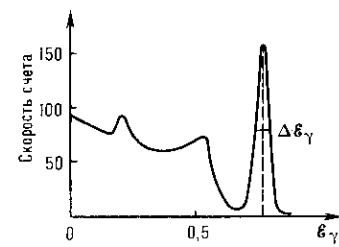


Рис. 4. Спектр импульсов от NaI(Tl) для $\delta_\gamma = 661$ КэВ.

Большая плотность ρ и высокий атомный номер Z обуславливают осн. применение С. д. на основе неорганич. сцинтилляторов для регистрации и спектрометрии γ -излучения (рис. 4). Спектр монохроматич. γ -излучения состоит из т. н. пика полного поглощения (полное поглощение γ -кванта) и комптоновского распределения (см. *Комптоновский эффект*), соотношение к-рых зависит от размера кристалла. Энергетич. разрешение пика полного поглощения $\Delta\delta_\gamma / \delta_\gamma$ складывается из флюктуации числа электронов, собранных на 1-й динод ФЭУ, дисперсии ФЭУ и т. н. собств. разрешения кристалла. Последнее определяется помимо неравномерности процесса светосбора флуктуациями числа и энергии комптоновских и β -электронов при образовании пика полного поглощения, зависит от размера кристалла и составляет величину \sim неск. %. Полное разрешение $\Delta\delta_\gamma / \delta_\gamma$ для энергии γ -квантов от ^{137}Cs ($\delta_\gamma = 661$ КэВ) для лучших кристаллов порядка 7%. С изменением регистрируемой энергии δ_γ разрешение меняется по закону $(\Delta\delta_\gamma / \delta_\gamma)^2 = g / \delta_\gamma$. Пропорциональность между интенсивностью световой вспышки и «потерянной» энергией при регистрации электронов и γ -квантов в NaI(Tl) имеет место при $\delta_\gamma > 100$ КэВ. При меньших энергиях световой выход сложным образом зависит от ул. потерь энергии.

Органические сцинтилляторы. К ним относятся органич. кристаллы, жидкие и твёрдые растворы сцинтиллирующих